

Techniques de reprise sur sauvegarde en environnement réparti

Master SAR – M2 ARA

Olivier.Marin@lip6.fr

Transparents originaux de *Pierre Sens*

Définitions - rappels

Points de reprise non coordonnés

Points de reprise de coordonnés

Journalisation

2

Reprise sur sauvegarde

(rollback- recovery)

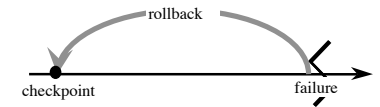
Modèles d'exécution

Applications réparties composées de processus communicants

- Processus déterministes : définis par un état initial et une séquence d'événements
- Processus non déterministes

Principe

Les processus sauvegardent leur état sur support stable pour prévenir les pannes éventuelles



Panne => reprise à partir d'un état antérieur

Introduction Non coordonné Coordonné Journalisation Conclusion

3

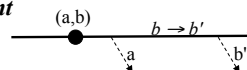
Point de reprise d'un processus isolé

Copie du contexte sur support fiable (mécanisme lourd)

Pour réduire le coût :

- Méthodes incrémentales
Sauvegarde limitée aux données mises à jour (pages modifiées)

- Sauvegarde non intrusive
Continuer l'exécution pendant la réalisation du point de reprise
Problème : risque de sauvegarder un état incohérent



Copy-on-write : recopie des pages *protégées* au moment de l'écriture
Pre-copying : recopie locale du point de reprise

Introduction Non coordonné Coordonné Journalisation Conclusion

4

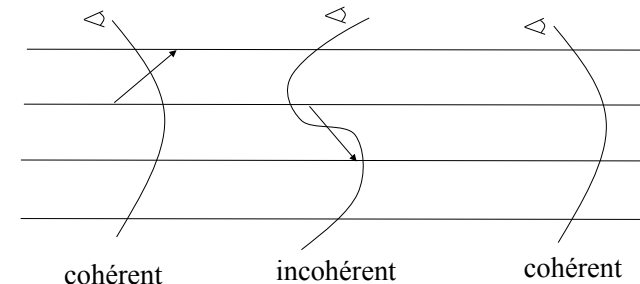
En réparti : Problème de cohérence

Maintenir la cohérence du système

Tout effet doit être précédé de sa cause

=> Dans les systèmes répartis :

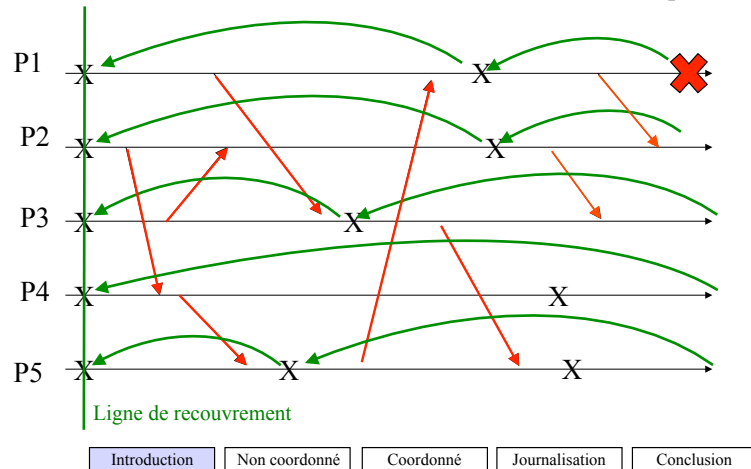
Tout message reçu doit être préalablement émis



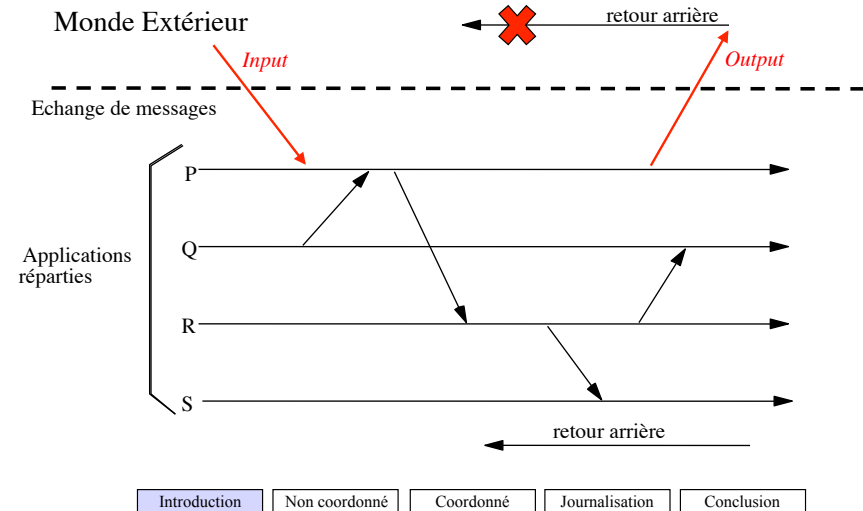
Introduction Non coordonné Coordonné Journalisation Conclusion

Paradoxe temporel et effet domino

« défaire » une émission => « défaire » une réception

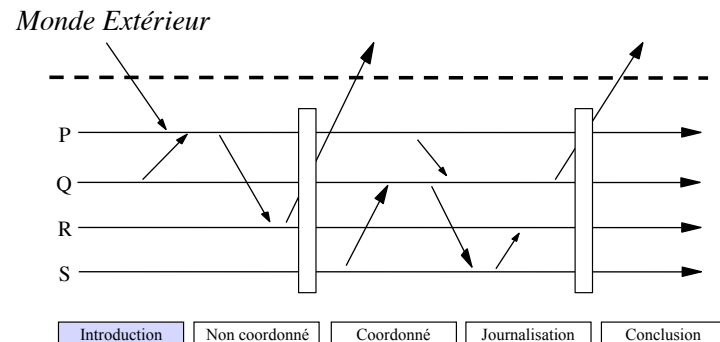


Processus communicants : Contexte



Interaction avec le monde extérieur

Impossible de « défaire » les actions extérieures
=> « Validation » des envois vers l'extérieur (*output commit*)



Support stable

Support qui résiste aux fautes

1 Faute : Support stable = un processus distant (en mémoire volatile)
(*Targon-32*)

Fautes transitoires : Support stable = disque local
(*DAWGS, Condor*)

Fautes permanentes : Support stable = Système de fichiers répliqué
(*STAR*)

Techniques de reprise sur sauvegarde

Points de reprise non coordonnés

Trouver une ligne de recouvrement

Points de reprise coordonnés

Coordination des processus lors des points de reprise

L'ensemble des derniers points de reprise forme une ligne de recouvrement

Faute => reprise des processus à partir de leur dernier point de reprise

Journalisation

Sauvegarde des événements

Faute => rejouer le même scénario

Introduction

Non coordonné

Coordonné

Journalisation

Conclusion

Point de reprise non coordonnés

Technique naïve

Sauvegarde locale après chaque émission

Théoriquement bon

Pas de message orphelin => pas d'effet domino

Défaillance entre l'envoi et la sauvegarde => retour à la sauvegarde précédente

Faible surcoût mémoire (une seule sauvegarde par nœud)

Pas optimal en pratique

Coût prohibitif de la sauvegarde pour les nœuds qui émettent beaucoup

Rollback important pour les nœuds émettant peu mais recevant/traitant beaucoup

Sauvegardes indépendantes de l'application

Pb : trouver une ligne de recouvrement cohérente

Construction centralisée d'un graphe de causalité

Algorithmes de recouvrement décentralisés

Introduction

Non coordonné

Coordonné

Journalisation

Conclusion

Point de reprise non coordonnés

Construction centralisée d'un graphe de causalité

Chaque processus maintient un graphe localement

Graphe de dépendance directe entre ses points de reprise et ceux distants

Recouvrement

1. Diffusion d'une requête
2. Collecte des graphes locaux => construction d'un graphe global
3. Déterminer la ligne de recouvrement
4. Reprise des exécutions

Deux approches par graphes

Rollback dependency graph [Bhargava 88, Wang 95]

Checkpoint graph [Wang 93]

Introduction

Non coordonné

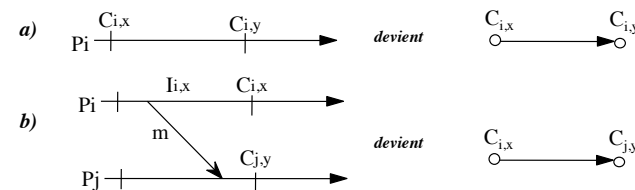
Coordonné

Journalisation

Conclusion

Déterminer la ligne de recouvrement

Graphe de dépendance des reprises (*rollback dependency graph*)



Chaque message estampillé par $\langle \text{Intervalle exp. } (i,x) \rangle$

Récepteur de mise à jour du graphe en mémoire volatile (checkpoint volatile) : $C_{i,x} \rightarrow C_{\text{volatile}}$

Point de reprise => Ecriture du graphe sur support stable

Introduction

Non coordonné

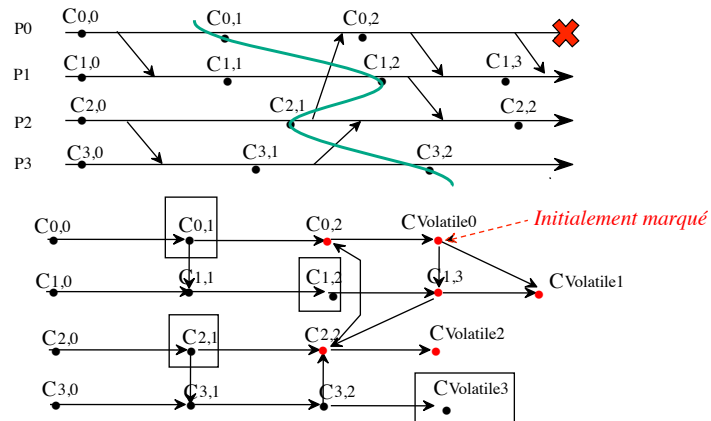
Coordonné

Journalisation

Conclusion

Graphe de reprise : Exemple

13

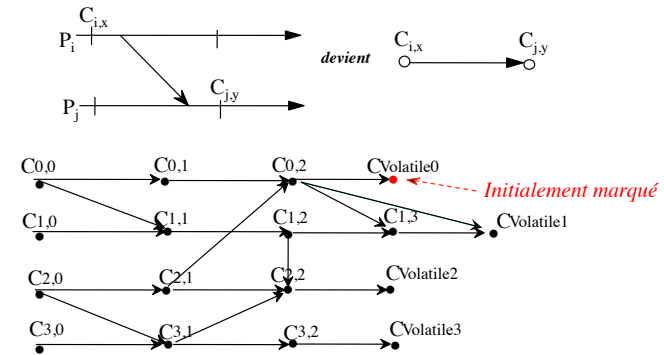


Reprise à partir des premiers points de reprise non marqués

Introduction Non coordonné Coordonné Journalisation Conclusion

Graphe de points reprise (checkpoint graph)

14



Remarque : Graphe utilisé aussi pour le GC des points de reprise

Introduction Non coordonné Coordonné Journalisation Conclusion

Graphe de points de reprise : ligne de recouvrement

15

$RootSet = \{\text{ensemble des derniers points de reprise (PR)}\}$

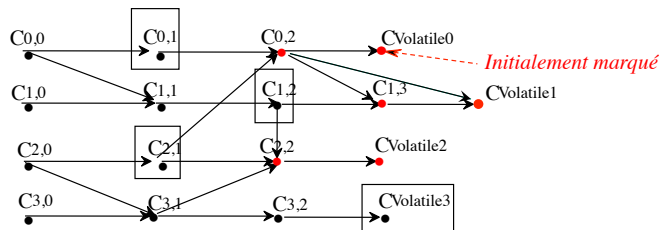
Marquer le point de faute & tous les PR accessibles depuis les membres du $RootSet$

TQ (au moins 1 membre du $RootSet$ est marqué) {

remplacer dans le $RootSet$ chq PR marqué par son prédécesseur sur le même processus

marquer tous les PR accessibles depuis les membres du $RootSet$ }

La ligne de recouvrement est alors constituée par les membres du $RootSet$



Remarque : Graphe utilisé aussi pour le GC des points de reprise

Introduction Non coordonné Coordonné Journalisation Conclusion

Points de reprise non coordonnés

16

Algorithmes de recouvrement décentralisés

But : déterminer une ligne de recouvrement sans l'aide d'un graphe

Des exercices théoriques généralement difficiles à mettre en œuvre

- Complexes
- Coûteux
- Associés à des hypothèses fortes

2 exemples

1. Juang-Venkatesan
2. Peterson-Kearns

Introduction Non coordonné Coordonné Journalisation Conclusion

Point de reprise non coordonnés

Juang-Venkatesan

Méthode

Comptabilisation des messages sur tous les canaux

Hypothèses

Canaux fiables et FIFO

Délais de transmission non connus mais bornés

Mémoire locale infinie

Processus à causalité événementielle (*piece-wise deterministic*)

En local, chaque processus P_i conserve

Un compteur d'état S_i incrémenté à chaque sauvegarde

Pour chaque voisin P_j :

un compteur d'émission $SENT_{ij}$ et un compteur de réception $RCVD_{ji}$

Chaque sauvegarde inclut S_i , ainsi que $SENT_{ij}$ et $RCVD_{ji}$ pour chaque canal

Introduction

Non coordonné

Coordonné

Journalisation

Conclusion

Point de reprise non coordonnés

Juang-Venkatesan

Algorithme

Si (P_i défaillant) revenir au dernier état sauvegardé

Sinon créer nouveau S_i volatile

Répéter N-1 fois // N le nb de sites

Pour tout site $j \neq i$

envoyer ($\langle \text{ROLLBACK}, i, \text{SENT}_{ij}(S_i) \rangle$)

Répéter N-1 fois

recevoir ($\langle \text{ROLLBACK}, j, v \rangle$)

Si ($\text{RCVD}_{ji}(S_i) > v$) // il y a des messages orphelins

Trouver (S'_i) le plus tardif tel que $\text{RCVD}_{ji}(S'_i) \leq v$

$S_i = S'_i$

FinR

FinR

Introduction

Non coordonné

Coordonné

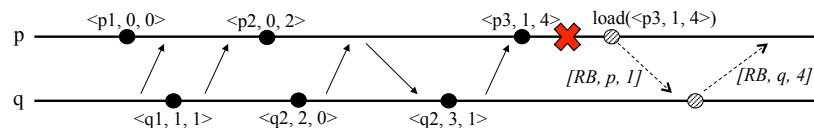
Journalisation

Conclusion

Point de reprise non coordonnés

Juang-Venkatesan

Exemple



Introduction

Non coordonné

Coordonné

Journalisation

Conclusion

Point de reprise non coordonnés

Peterson-Kearns

Méthode

Horloges vectorielles sur un anneau

Hypothèses

Canaux fiables avec délais de transmission non connus mais bornés

Processus organisés en anneau (chacun connaît son successeur)

En local, chaque processus P_i maintient une horloge vectorielle

Un numéro d'*incarnation* est incrémenté à chaque recouvrement

Introduction

Non coordonné

Coordonné

Journalisation

Conclusion

Point de reprise non coordonnés

Peterson-Kearns

Algorithme

Si (P_i défaillant)
 Revenir au dernier état sauvegardé S_i
 Création d'un jeton $\langle \text{incarnation}++ \rangle$ (horloge de S_i)
 Propagation dans l'anneau

Réception de $\langle \text{incarnation} \rangle$ (horloge) sur P_j
 Si ($(P_j \text{ initiateur}) \ \&\& \ (\text{horloge}_j[j] \geq \text{horloge}_i[j])$)
 FIN
 Si ($\text{incarnation}_{\text{locale}} < \text{incarnation}$)
 $\text{incarnation}_{\text{locale}} = \text{incarnation}$
 Si ($\text{horloge}_j[j] < \text{horloge}_i[j]$)
 $S_j = S_i$, telle que $\text{horloge}_j[j] \geq \text{horloge}_i[j]$
 Propagation de $\langle \text{incarnation} \rangle$ (horloge de S_j)
 Sinon
 Propagation de $\langle \text{incarnation} \rangle$ (horloge de S_i)

Introduction

Non coordonné

Coordonné

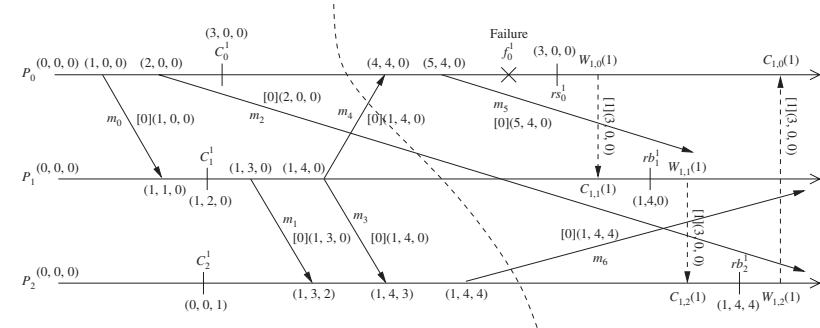
Journalisation

Conclusion

Point de reprise non coordonnés

Peterson-Kearns

Exemple



Introduction

Non coordonné

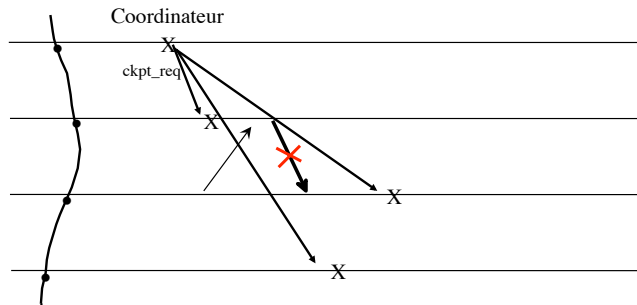
Coordonné

Journalisation

Conclusion

Points de reprise coordonnés : Problème

1 coordinateur synchronise les points de reprise



Introduction

Non coordonné

Coordonné

Journalisation

Conclusion

Point de reprise coordonnés : Sync-and-Stop (SaS)

Un coordinateur appelle une barrière de synchronisation pour geler l'application (arrêt des envois de message)

Algorithme :

1. Le coordinateur diffuse un message **chkptReq** à tous les processus
2. Réception **chkptReq** sur p :
 p stoppe l'application (plus d'envoi) et renvoie **chkptReady** au coordinateur
3. Lorsque le coordinateur a reçu **chkptReady** de tous les processus, il diffuse un message **chkptDo** et sauvegarde son état
4. Réception de **chkptDo** sur p :
 p sauvegarde son état et renvoie **chkptDone**
5. Lorsque le coordinateur a reçu tous les **chkptDone**, il diffuse **chkptCommit** pour débloquer les processus

Introduction

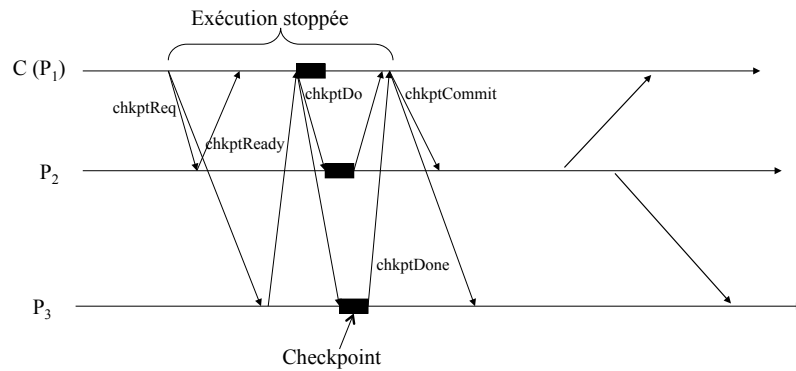
Non coordonné

Coordonné

Journalisation

Conclusion

SaS : Exemple



Introduction

Non coordonné

Coordonné

Journalisation

Conclusion

Algorithme non bloquant : Chandy-Lamport 85

- Algorithme “distributed snapshot” : sauvegarde cohérente de l’état global (état des processus + canaux de communication)
- Hypothèse : canaux FIFO
- Le coordinateur diffuse un *marker* et fait son point de reprise
- Réception du marker sur p sur le canal c :
 - Si p n’a pas encore sauvegardé son état :
 - Rediffusion du marker et sauvegarde d’état
- Tout message reçu sur le canal c entre la sauvegarde et la réception du marker sur c est sauvé (message en transit)

Introduction

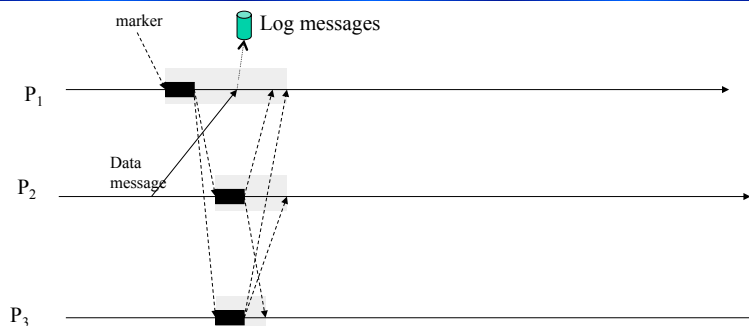
Non coordonné

Coordonné

Journalisation

Conclusion

Chandy-Lamport : Exemple



- Problème : Coûteux en message, accès au support stable
- Chandy-Lamport modifié (MCL)
 - [Agbaria06] : réduire le nombre d’accès au support, sauvegarde uniquement après la réception de tous les markers

Introduction

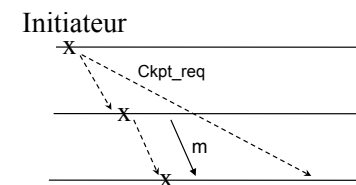
Non coordonné

Coordonné

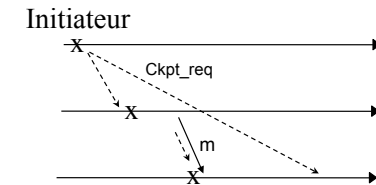
Journalisation

Conclusion

Points de reprise coordonnés non bloquants



[Chandy-Lamport 85]
Hypothèse : canaux FIFO



[Lai-Yang 87]
Hypothèse : canaux non FIFO

Introduction

Non coordonné

Coordonné

Journalisation

Conclusion

Points de reprise coordonnés à synchro. minimale

Koo & Toueg 87

Messages estampillés – Chaque processus q conserve :

- $Last_rmsg_q(p)$ - numéro du dernier message reçu de p depuis le dernier checkpoint
- $First_smsg_q(p)$ - numéro du premier message envoyé à p depuis le dernier checkpoint

Création d'un point de reprise PR

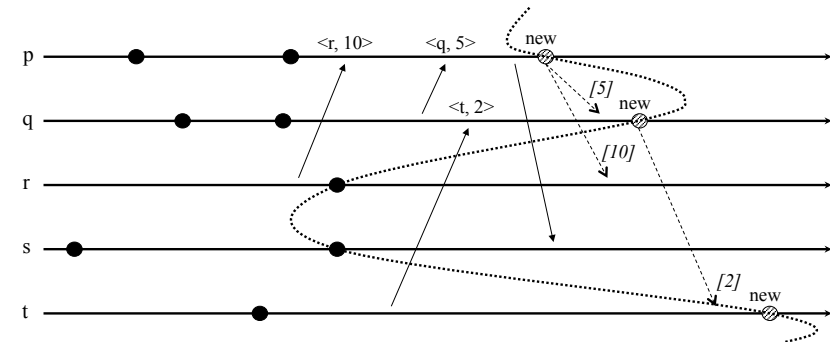
1. Notification aux processus dont on a reçu un message postérieur à PR-1
2. Test d'incohérence de chaque processus émetteur
Incohérence \Rightarrow création d'un nouveau point de reprise par l'émetteur

Reprise

Annulation des envois postérieurs aux derniers points de reprise

Introduction Non coordonné Coordonné Journalisation Conclusion

Koo & Toueg 87 par la pratique



Introduction Non coordonné Coordonné Journalisation Conclusion

Koo & Toueg 87 : Reprise minimale

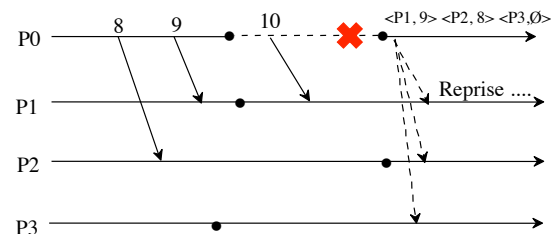
Reprise : propager aux processus dont on "défait" un envoi de message

Reprise de q

1. Diffusion des numéros de dernier message envoyé *avant* le dernier point de reprise ($last_smsg_q(p)$)

2°) Réception sur p :

Si $last_smsg_q(p) < last_rmsg_p(q)$
Reprendre \Rightarrow Lancer l'algorithme localement



Introduction Non coordonné Coordonné Journalisation Conclusion

Point de reprise coordonné à synchronisations implicites

Coordination implicite : utilisation des messages d'applications

Algorithme "naïf"

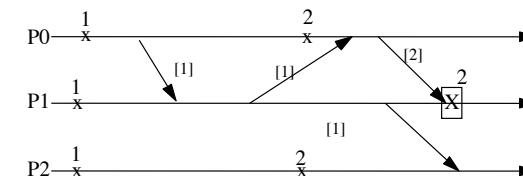
Sauvegarde (atomique) après chaque émission [Wu & Fuchs 90]

Algorithme de base : [Briatico 84]

Un compteur date les points de reprise (+1 à chaque checkpoint)

Chaque message est estampillé par le compteur de l'émetteur

Réception d'un message m :
ckpt si $m.compteur > compteur_local$



Introduction X Non coordonné Coordonné Journalisation Conclusion

Zigzag-Path (Xu & Netzer 93)

- Extension des chemins de causalité de Lamport
- Un *Zigzag chemin* (Z-path) de $C_{p,i}$ à $C_{q,j}$ est une séquence de messages (m_1, m_2, \dots, m_l) ; $l \geq 1$, telle que:
 - m_1 est envoyé par p après $C_{p,i}$
 - Si m_k ($1 \leq k < l$) est reçu par r , alors m_{k+1} est envoyé par r dans le même intervalle (ou plus tard)
 m_{k+1} peut être envoyé après la réception de m_k
 - m_l est reçu par q avant $C_{q,j}$

Introduction

Non coordonné

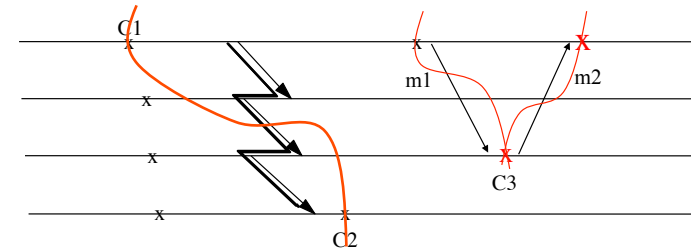
Coordonné

Journalisation

Conclusion

Points de reprise coordonnés : synchro. implicite (2)

Netzer et Xu 95



Propriété fondamentale :

S'il existe un Z-path de $C1$ à $C2$ alors $C1$ et $C2$ ne peuvent faire partie du même ensemble cohérent de points de reprise

Z-cycle : Il existe un Z-Path de C vers lui-même.

Si C appartient à un Z-cycle alors il ne peut faire partie d'une ligne de recouvrement
 C est inutile

Ex : $[m2, m1]$ forme un Z-chemin de $C3$ vers lui-même

Introduction

Non coordonné

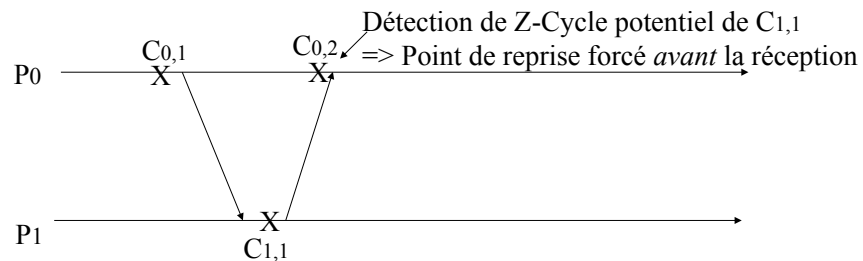
Coordonné

Journalisation

Conclusion

Algo. adaptatif à base de détection de Z-Cycle

- [Hélary 97] – sur les principes de [Briatico 84]



Introduction

Non coordonné

Coordonné

Journalisation

Conclusion

Recouvrement par journalisation

Point de reprise non coordonné

Principe : Reconstruire l'état précédant la faute en rejouant le même scénario

=> Tracer tous les événements non déterministes (logging)

Hypothèse d'application "*piecewise deterministic*" (PWD) :

- Exécution ensemble d'intervalles déterministes
- Chaque intervalle commence par un événement non déterministe (réception d'un message).

Introduction

Non coordonné

Coordonné

Journalisation

Conclusion

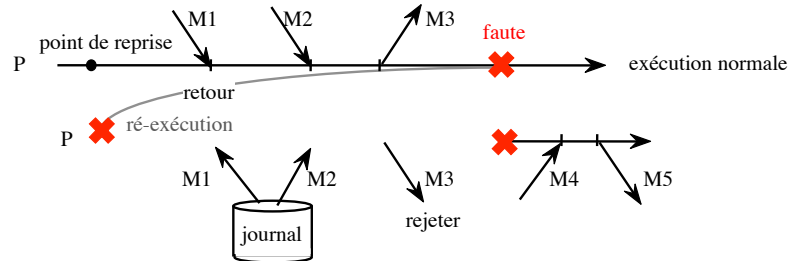
Journalisation pessimiste

Journalisation synchrone de tous les messages reçus

⇒ un processus repris consomme les messages du journal

Détection des réémissions (estampillage)

⇒ rejet des messages retransmis par les processus repris



Introduction Non coordonné Coordonné Journalisation Conclusion

Journalisation Pessimiste : Optimisations

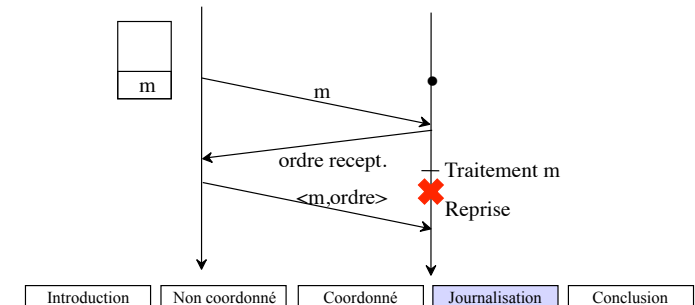
Implantation matérielle du support stable :

Mémoire non volatile (FTM)

Bus spécifique (TARGON-32)

Sans matériel spécifique :

Utiliser la mémoire vive de l'émetteur (Sender Based Message Logging [Johnson 90])



Introduction Non coordonné Coordonné Journalisation Conclusion

Journalisation Optimiste

Sauvegarde *asynchrone* en RAM

Le journal est sauvegardé périodiquement sur support stable

Faute => risque de perdre une partie du journal

Reprise en cascade

- + Asynchronisme (meilleures performances)
- Possibilité d'effet domino

Introduction Non coordonné Coordonné Journalisation Conclusion

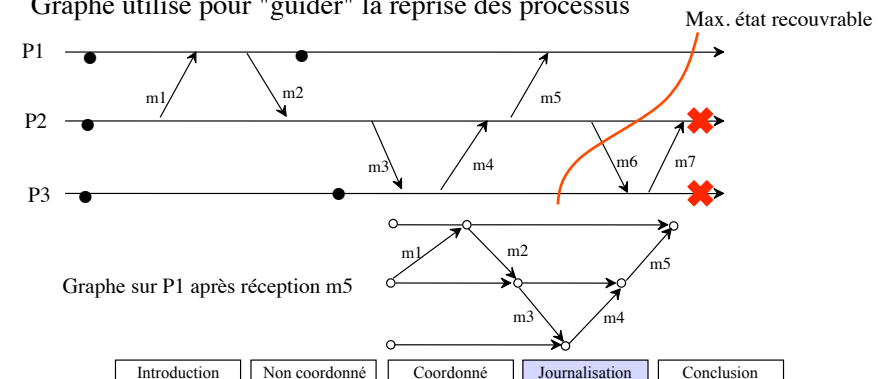
Journalisation Causale (Manetho, [Elnozahy 94])

Chaque processus maintient un *graphe de précédences*

(historique des événements non déterministes qui précèdent causalement l'état courant)

Graphe contenu dans les messages (piggybacking)

Graphe utilisé pour "guider" la reprise des processus



Introduction Non coordonné Coordonné Journalisation Conclusion

Comparaison de stratégies (extrait de [Elnozahy 97])

	Non coordonnés	Coordonnés	Coordonnés implicites	Journalisation pessimiste	Journalisation optimiste	Journalisation causale
Hyp. PWD	Non	Non	Non	Oui	Oui	Oui
Surcoût Comm.	Faible	Aucun	Faible	Le plus élevé	Elevé	Elevé
Surcoût Sauvegarde	Faible	Le + élevé	Faible	Faible	Faible	Faible
Nb de pts de reprise	Plusieurs	1	1	1	Plusieurs	1
GC	Complexe	Simple	Simple	Simple	Complexe	Complexe
Reprise	Complexe	Simple	Simple	Simple	Complexe	Complexe
Effet domino	Possible	Impossible	Impossible	Impossible	Impossible	Impossible
Extension reprise	Illimitée	Dernier checkpoint	Dernier checkpoint	Minimum	Checkpoints précédents	Dernier checkpoint
"Output commit"	Impossible	Très lent	Très lent	Le plus rapide	Lent	Rapide

Introduction

Non coordonné

Coordonné

Journalisation

Conclusion

Tolérance aux fautes et large échelle

La plupart des plates-formes sont peu adaptées au large échelle

- Eloignement => Forte latence des protocoles
- Nombre de sites => Coût en ressources (réseau)
- Dynamacité => Approche statique (stratégie figée ou guidée par l'utilisateur)
- Topologie => Partitionnement

Modèle de faute restreint (crash, recovery)

- Tendance à élargir vers fautes byzantines (dans P2P)
- Outils : librairie BFT, pb très coûteux !

Introduction

Non coordonné

Coordonné

Journalisation

Conclusion

Point de reprise pour les Grilles

Approche hiérarchique utilisée dans ProActive (Thèse de C. Delbé)

- Utilisation de groupe de recouvrement [Sistla et Welch] :
 - 1 groupe par cluster
 - Groupe = unité de reprise
- Point de reprise coordonné au sein d'un groupe
- Journalisation des messages inter-groupes

Introduction

Non coordonné

Coordonné

Journalisation

Conclusion

Bibliographie

- [Alvisi 93] L. Alvisi, B. Hoppe, K. Marzullo. Nonblocking and Orphan-Free Message Logging Protocols. Proc. of the 23rd International Symposium on Fault-Tolerant Computing (FTCS 23), pp. 145-154, Toulouse, France 1993.
- [Agbaria06] A. Agbaria. Improvements and Reconsideration of Distributed Snapshot Protocols. In *Proceedings of the 25th Symposium on Reliable Distributed Systems (SRDS'06)*, pp. , October 2006, Leeds, UK
- [Borg 89] A. Borg, W. Blau, W. Graetsch, F. Herrmann, W. Oberle. Fault Tolerance Under UNIX. ACM Transaction on Computer Systems, 7(1):1-24, février 1989.
- [Fischer 85] M.J. Fischer, N.A. Lynch, M.S. Paterson. Impossibility of Distributed Consensus with One Faulty Process. Journal of the ACM 32(2):374-383, 1985.
- [Johnson 90] D.B. Johnson, W. Zwaenepoel, Recovery in Distributed Systems using Optimistic Message Logging and Checkpointing. Journal of Algorithms, 11(3):462-491, septembre 1990.
- [Elnozahy 96] E.N. Elnozahy, D.B. Johnson, Y.M. Wang. A survey of Rollback-Recovery Protocols in Message-Passing Systems. Technical Report. CMU-CS-96-181.
- [Koo 87] Richard Koo, Sam Toueg. Checkpointing and Rollback-recovery for Distributed Systems. IEEE Transactions on Software Engineering, SE-13(1):23-31, janvier 1987.
- [Sens 98] P. Sens, B. Folliot. The STAR Fault Tolerant Manager. Software Practice and Experience, Aout 1998.
- [Wang 92] Y.M. Wang, W.F. Fuchs. Optimistic Message Logging for Independent Checkpointing in Message-Passing Systems. Proc. of the IEEE 11th Symposium on Reliable Distributed Systems, pp. 147-154, octobre 1992.
- [Wang 93] Y.M. Wang, W.K. Fuchs. Lazy Coordination for Bounding Rollback Propagation. Proc. of the 12th Symposium on Reliable Distributed Systems, pp.78-85, octobre 1993.
- [Netzer 95] R.H.B. Netzer, J. Xu. Necessary and Sufficient Conditions for Consistent Global Snapshots. IEEE Trans. on Parallel and Distributed Systems
- [Hélary 98] Hélary, A. Mostefaoui, M. Raynal. Points de Contrôle cohérents dans les systèmes répartis : concepts et protocoles. ISI 17,10, 1998

Quelques "pointeurs"

Manetho :

<http://www.cs.cmu.edu/People/mootaz/manetho.html>

Libckpt :

<http://www.cs.utk.edu/~plank/plank/www/libckpt.html>

Algorithmes :

<http://www.cs.utexas.edu/users/lorenzo>

<http://www.irisa.fr/adept/index.html>

<http://www.dis.uniroma1.it/~baldoni/publications.shtml>

MPICH-V :

<http://mpich-v.lri.fr>